



INFORME FINAL DEL EMBALSE DE CASPE
AÑO 2011



VNIVERSITAT DE VALÈNCIA

CONSULTOR:
UNIVERSITAT DE VALÈNCIA ESTUDI GENERAL
Instituto Cavanilles de Biodiversidad y Biología Evolutiva, Área de Limnología

Departamento de Microbiología y Ecología. Facultad de Ciencias Biológicas
46100 – Burjassot (Valencia)

DICIEMBRE 2011

ÍNDICE

| | Página |
|---|-----------|
| <u>1. INTRODUCCIÓN</u> | 1 |
| <u>2. DESCRIPCIÓN GENERAL DEL EMBALSE Y DE LA CUENCA VERTIENTE</u> | 2 |
| 2.1. Ámbito geológico y geográfico | 2 |
| 2.2. Características morfométricas e hidrológicas | 2 |
| 2.3. Usos del agua | 4 |
| 2.4. Registro de zonas protegidas | 4 |
| <u>3. TRABAJOS REALIZADOS</u> | 5 |
| <u>4. DIAGNÓSTICO DE LA SITUACIÓN ACTUAL</u> | 6 |
| 4.1. Características fisicoquímicas de las agua | 6 |
| 4.2. Hidroquímica del embalse | 9 |
| 4.3. Fitoplancton y concentración de clorofila | 10 |
| 4.4. Zooplancton | 14 |
| <u>5. DIAGNÓSTICO DEL GRADO TRÓFICO</u> | 17 |
| <u>6. DIAGNÓSTICO DEL POTENCIAL ECOLÓGICO</u> | 18 |

ANEXO I. REPORTAJE FOTOGRÁFICO

1. INTRODUCCIÓN

El presente documento recoge los resultados de los trabajos realizados en el embalse de Caspe durante los muestreos de 2011 y la interpretación de los mismos, a efectos de proporcionar una referencia que facilite la consulta y explotación de la información obtenida.

En general, se recurre a presentaciones gráficas y sintéticas de la información, acompañadas de un texto conciso, lo que permitirá una consulta ágil y rápida del documento.

En el **Anexo I** se presenta un reportaje fotográfico que refleja el estado del embalse durante el periodo estudiado (septiembre 2011, correspondiente al año hidrológico 2010-2011).

En apartados sucesivos se comentan los siguientes aspectos:

- Resultados del estudio en el embalse (FASE DE CARACTERIZACIÓN) de todos los aspectos tratados (hidrológicos, fisicoquímicos y biológicos), que culminan en el diagnóstico del grado trófico.
- Clasificación del “Potencial Ecológico”, tras la aplicación de los indicadores biológicos y fisicoquímicos propuestos en la Directiva Marco del Agua.

2. DESCRIPCIÓN GENERAL DEL EMBALSE Y DE LA CUENCA VERTIENTE

2.1. Ámbito geológico y geográfico

La cuenca vertiente del embalse de Caspe se ubica sobre las formaciones de lutitas pertenecientes al Paleógeno, así como en depósitos aluviales, gravas, limos y arcillas del Cuaternario.

El embalse de Caspe se sitúa dentro del término municipal de Caspe, en la provincia de Zaragoza. Regula las aguas del río Guadalupe.

2.2. Características morfométricas e hidrológicas

Se trata de un embalse de geometría irregular y sinuosa.

La cuenca vertiente al embalse de Caspe tiene una superficie total de 366393,47 ha.

Este embalse tiene una capacidad total de 81,62 hm³, que coincide con la capacidad útil. Caracterizado por una profundidad media de 12,7 m, mientras que la profundidad máxima alcanza los 46 m. En el **Cuadro 1** se presentan las características morfométricas del embalse.

CUADRO 1

CARACTERÍSTICAS MORFOMÉTRICAS DEL EMBALSE DE CASPE

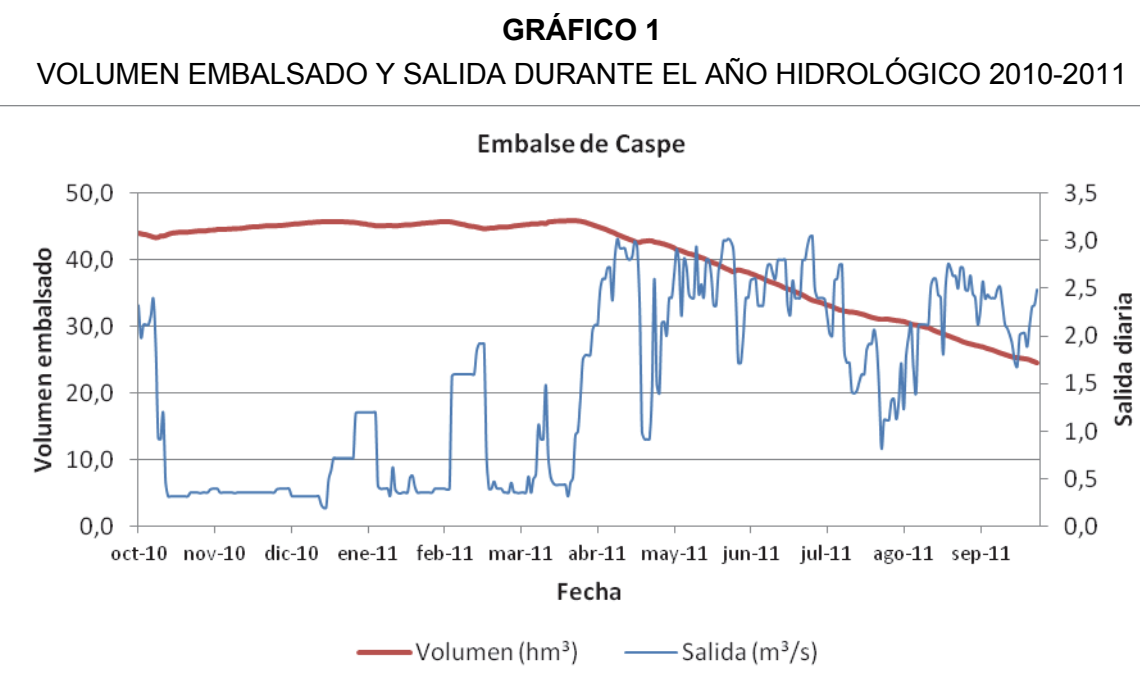
| | |
|----------------------------|-----------------------|
| Superficie de la cuenca | 3705 km ² |
| Capacidad total N.M.N. | 81,62 hm ³ |
| Capacidad útil | 81,62 hm ³ |
| Aportación media anual | 94 hm ³ |
| Superficie inundada | 638 ha |
| Cota máximo embalse normal | 230 msnm |

Tipo de clasificación: 12. Monomictico, calcáreo de zonas no húmedas, pertenecientes a tramos bajos de ejes principales.

Se trata de un embalse monomictico. La termoclina en el momento del muestreo ya había desaparecido. El límite inferior de la capa fótica en verano se encuentra alrededor de los 8 metros de profundidad, medida con medidor fotoeléctrico; sin embargo, estimada por la visión del Disco de Secchi es de 5,5 m.

El tiempo de residencia hidráulica media en el embalse de Caspe para el año hidrológico 2010-2011 fue de 10,5 meses.

En el **GRÁFICO 1** se presentan los valores diarios del volumen embalsado y salida media correspondientes al año hidrológico 2010-2011.



2.3. Usos del agua

Las aguas del embalse se destinan principalmente al abastecimiento humano y a los regadíos. Con respecto al uso recreativo, destacar la pesca y la navegación (existe un club náutico en las orillas del embalse).

2.4. Registro de zonas protegidas

El embalse de Caspe forma parte del Registro de Zonas Protegidas elaborado por la Confederación Hidrográfica del Ebro, en contestación al artículo 6 de la Directiva Marco del Agua, en las categorías de: zonas de extracción de agua para consumo humano y zonas sensibles a nutrientes (zonas sensibles bajo el marco de la directiva 91/271/CEE).

3. TRABAJOS REALIZADOS

Para acometer la caracterización del embalse se ha ubicado una estación de muestreo en las inmediaciones de la presa (ver **Figura 1**). Se ha completado una campaña de muestreo el 21 de Septiembre de 2011, en la que se midieron *in situ* los parámetros fisicoquímicos y el Disco de Secchi en la columna de agua, se tomó una muestra de agua integrada para los análisis químicos y se realizaron muestreos de fito y zooplancton.

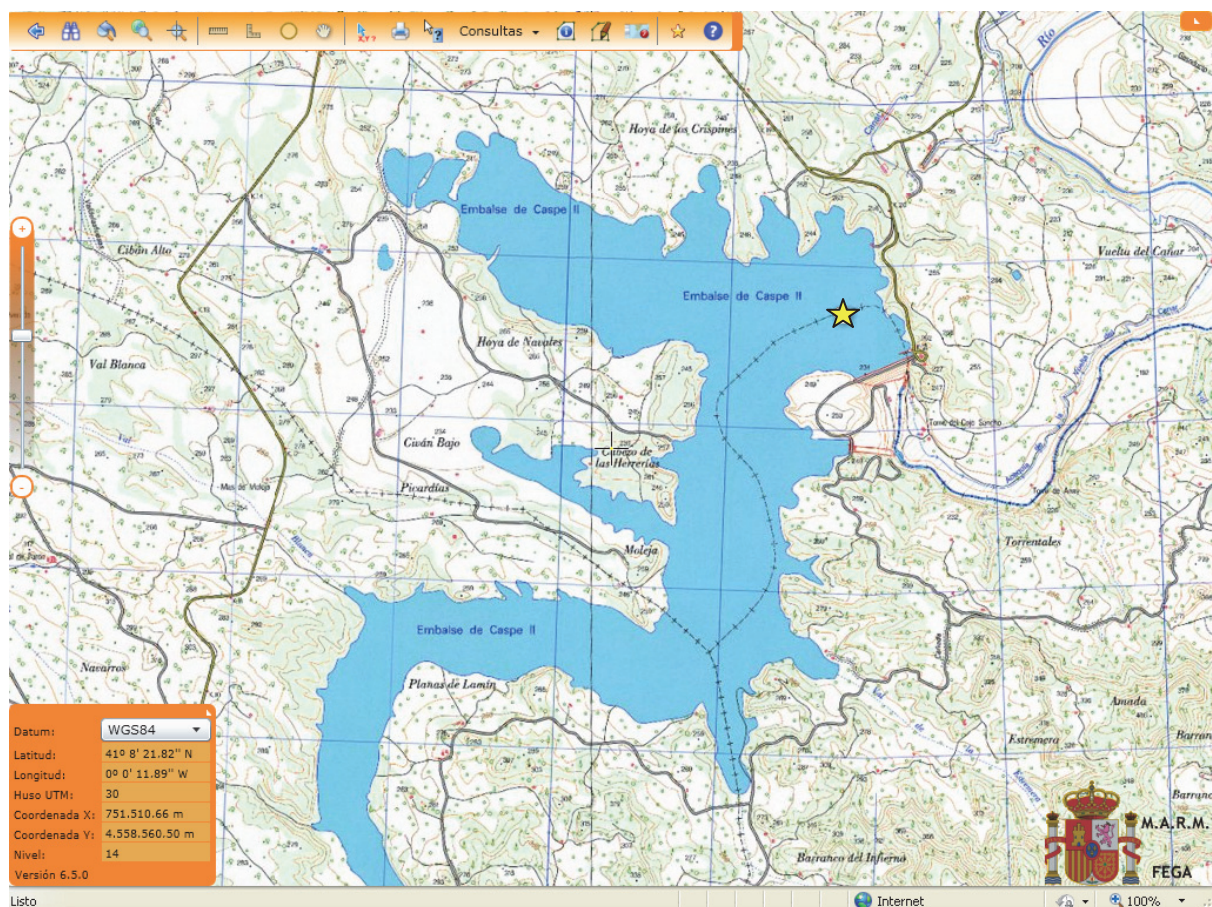
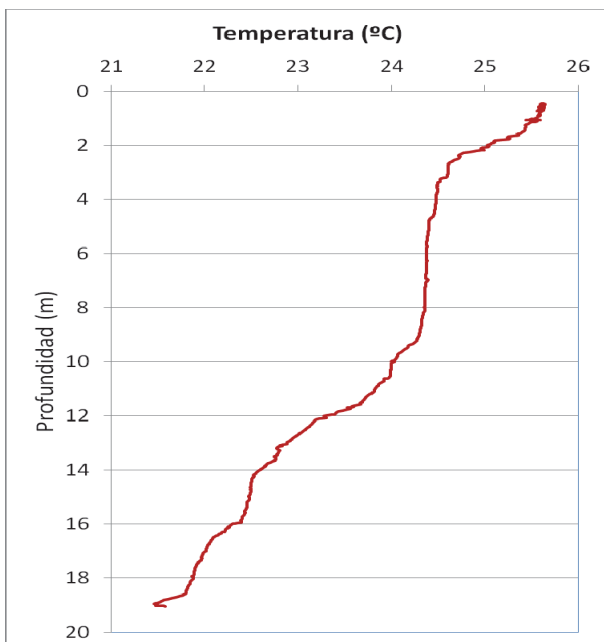


Figura 1. Localización de la estación de muestreo en el embalse

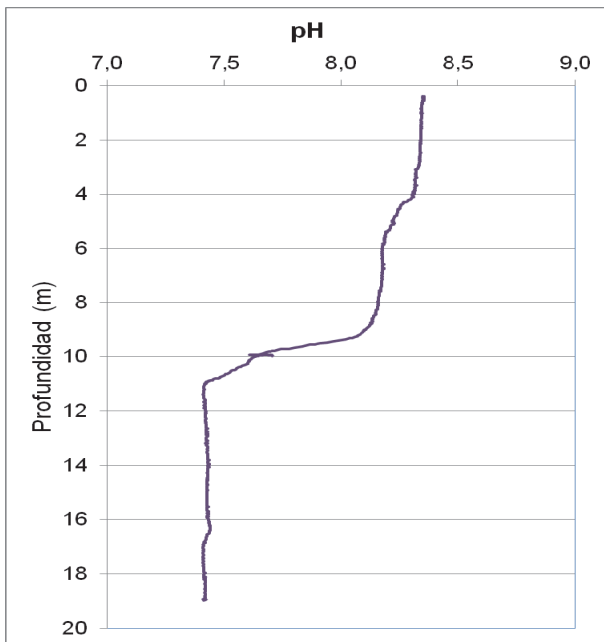
4. DIAGNÓSTICO DE LA SITUACIÓN ACTUAL

4.1. Características fisicoquímicas de las aguas

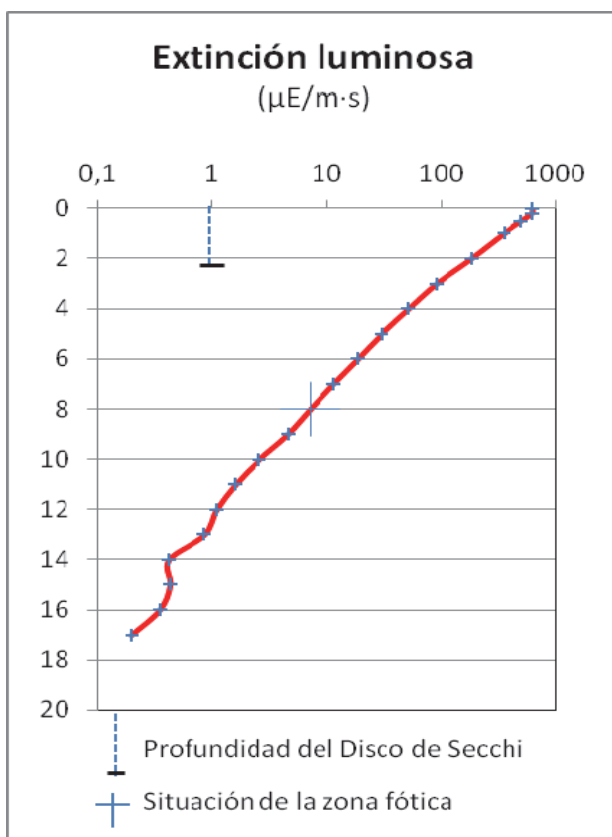
De los resultados obtenidos se desprenden las siguientes apreciaciones:



La temperatura del agua oscila entre los 21,6 °C – en el fondo- y los 25,6 °C - máximo registrado en superficie-. En el momento del muestreo (Septiembre 2011) la termoclina había desaparecido.

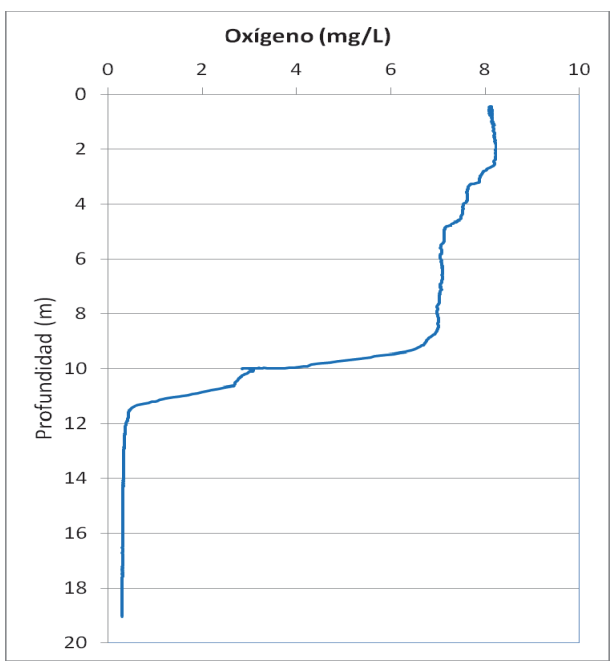


El pH del agua en superficie es de 8,33. En el fondo el pH es 7,41. Coinciendo con los valores máximo y mínimo respectivamente.

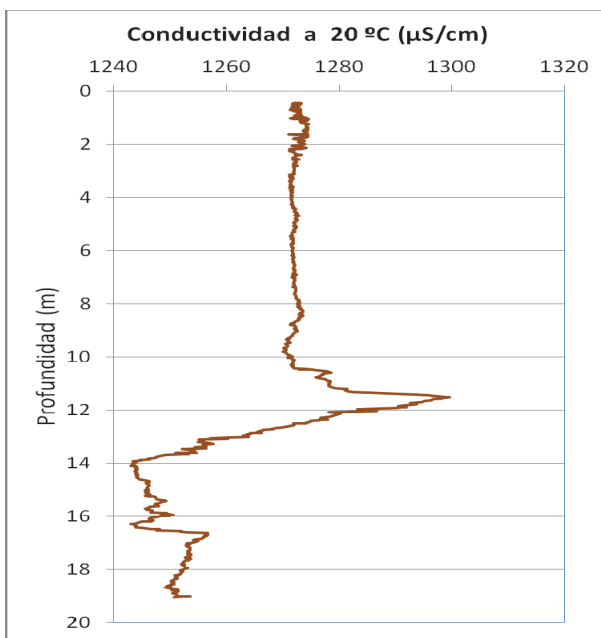


La transparencia del agua registrada en la lectura de disco de Secchi es de 2,20 m, lo que supone una profundidad de la capa fótica en torno a los 5,5 metros. Sin embargo, esta determinación mediante medidor fotoeléctrico ha dado como resultado una capa fótica de 8 m, que se ha considerado para la toma de muestras integradas.

La turbidez media de la zona eufótica (muestra integrada de 8 m de profundidad) fue de 4,01 NTU, mientras que el valor máximo se presenta a 17 m con 10,29 NTU.



Las condiciones de oxigenación de la columna de agua en la zona fótica alcanzan en el muestreo una concentración media de 7,77 mg/L. Por debajo desaparece rápidamente el oxígeno, detectando condiciones anóxicas (<2 mg O₂/L) a profundidad mayor de 11 metros.



La conductividad del agua es de 1274 $\mu\text{S}/\text{cm}$ en la superficie y de 1251 $\mu\text{S}/\text{cm}$ en el fondo, pero se registra el valor máximo a 11,5 m de profundidad con 1299 $\mu\text{S}/\text{cm}$ y el valor mínimo a 14 m con 1243 $\mu\text{S}/\text{cm}$.

4.2. Hidroquímica del embalse

De los resultados analíticos obtenidos en la campaña de 2011 en la muestra integrada, se desprenden las siguientes apreciaciones:

- La concentración de fósforo total (PT) en la muestra integrada (zona fótica) fue de 16,59 µg P/L.
- La concentración de P soluble fue de 0,17 µg P/L.
- La concentración de nitrógeno total (NT) fue de 0,64 mg N /L.
- La concentración de nitrógeno inorgánico oxidado (nitrato + nitrito, NIO) tomó un valor de 0,29 mg N /L.
- La concentración de amonio (NH_4) resultó ser de 0,041 mg N/L).
- La concentración de sílice tomó un valor de 4,54 mg SiO_2 /L.
- La alcalinidad en este embalse (zona fótica) fue de 1,79 meq/L.

4.3. Fitoplancton y concentración de clorofila

En el análisis de fitoplancton se han identificado un total de 23 especies, distribuidas en los siguientes grupos taxonómicos:

| | |
|-------------------|----|
| BACILLARIOPHYCEAE | 3 |
| XANTHOPHYCEAE | 1 |
| CHLOROPHYTA | 10 |
| ZYGNEMATOPHYCEAE | 1 |
| CYANOBACTERIA | 2 |
| CRYPTOPHYCEAE | 3 |
| DINOPHYCEAE | 2 |
| EUGLENOPHYCEAE | 1 |

La estructura y composición de la comunidad de fitoplancton se resume en el siguiente cuadro:

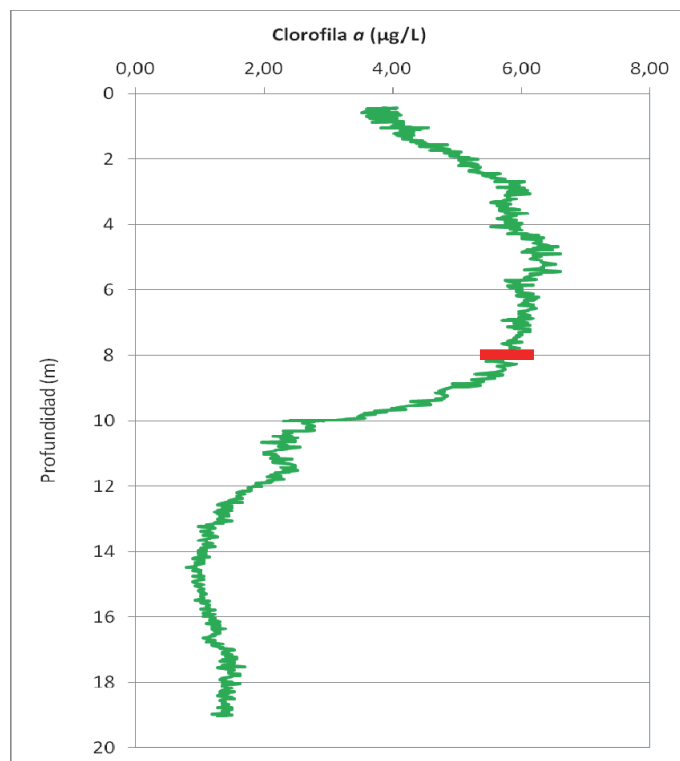
CUADRO 2
ESTRUCTURA Y COMPOSICIÓN DE LA COMUNIDAD DE FITOPLANCTON

| PARÁMETRO | UNIDAD | VALOR |
|--|---------------------|---------------------------------|
| Nº CÉULAS TOTALES FITOPLANCTON | nº cel/ml | 6796,31 |
| BIOVOLUMEN TOTAL FITOPLANCTON | µm ³ /ml | 564984 |
| CLASE PREDOMINANTE FITOPLANCTON (DENSIDAD) | | Chlorophyta |
| Nº células/ml | | 6382,89 |
| ESPECIE PREDOMINANTE FITOPLANCTON (DENSIDAD) | | <i>Planctonema lauterbornii</i> |
| Nº células/ml | | 6061,65 |
| CLASE PREDOMINANTE FITOPLANCTON (BIOVOLUMEN) | | Chlorophyta |
| µm ³ /ml | | 287706 |

| PARÁMETRO | UNIDAD | VALOR |
|---|--------|---------------------------------|
| ESPECIE PREDOMINANTE FITOPLANCTON (BIOVOLUMEN) | | <i>Planctonema lauterbornii</i> |
| $\mu\text{m}^3/\text{ml}$ | | 266605 |

La diversidad calculada según el índice de Shannon-Wiener ha sido de 0,86.

La concentración de clorofila *a* fue de 5,21 $\mu\text{g/L}$ en la muestra integrada, cuya profundidad se ha señalado en la figura con una línea roja. Se observan, cuando se realiza el perfil vertical mediante fluorimetría, los valores máximos en el epilimnion y los mínimos en el hipolimnion.



La composición de la población fitoplanctónica de la muestra integrada de la zona fótica indicando su abundancia y biovolumen, y la densidad cualitativa de la muestra integrada de fitoplancton del muestreo vertical con red de plancton muestran los resultados del cuadro siguiente:

| COMPOSICIÓN | ABUNDANCIA | BIOVOLUMEN | CUALITATIVO |
|--|------------|---------------------|-------------|
| FITOPLANCTON | cél./ml | μm ³ /ml | |
| BACILLARIOPHYCEAE/CENTRALES/ | | | |
| <i>Aulacoseira granulata</i> var. <i>angustissima</i> | | | 1 |
| <i>Cyclotella ocellata</i> | 117,32 | 13269 | |
| <i>Cyclotella radiosa</i> | | | 1 |
| BACILLARIOPHYCEAE /PENNALES/ | | | |
| <i>Achnanthes laevis</i> | | | 1 |
| <i>Achnanthidium minutissimum</i> (= <i>Achnanthes minutissima</i>) | 2,79 | 527 | 2 |
| <i>Cymatopleura solea</i> | | | 1 |
| <i>Fragilaria crotonensis</i> | | | 1 |
| <i>Nitzschia acicularis</i> | | | 1 |
| <i>Nitzschia palea</i> | 5,59 | 2972 | 1 |
| XANTHOPHYCEAE | | | |
| <i>Trachydiscus sexangulatus</i> | 2,79 | 351 | |
| CHLOROPHYTA | | | |
| <i>Actinastrum hantzschii</i> | | | 1 |
| <i>Botryococcus</i> sp. | 178,78 | 562 | 1 |
| <i>Coelastrum microporum</i> | 11,17 | 2293 | 1 |
| <i>Eutetramorus plancticus</i> | 33,52 | 2194 | 1 |
| <i>Hariotina polychorda</i> (= <i>Coelastrum polychordum</i>) | 22,35 | 5160 | 1 |
| <i>Monoraphidium contortum</i> | 5,59 | 211 | 1 |
| <i>Monoraphidium komarkovae</i> | 2,79 | 448 | 1 |
| <i>Oocystis lacustris</i> | 11,17 | 826 | 1 |
| <i>Oocystis marssonii</i> | 44,69 | 4739 | 1 |
| <i>Planctonema lauterbornii</i> | 6061,65 | 266605 | 5 |
| <i>Pseudopediastrum boryanum</i> (= <i>Pediastrum boryanum</i>) | | | 1 |
| <i>Scenedesmus acuminatus</i> sensu lato | 11,17 | 4669 | 1 |

| COMPOSICIÓN | ABUNDANCIA | BIOVOLUMEN | CUALITATIVO |
|---|----------------|---------------------|-------------|
| FITOPLANCTON | cél./ml | μm ³ /ml | |
| <i>Sphaerocystis planctonica</i> | | | 1 |
| ZYGNEMATOPHYCEAE | | | |
| <i>Closterium acutum</i> | | | 1 |
| <i>Cosmarium abbreviatum</i> | | | 1 |
| <i>Cosmarium laeve</i> | 2,79 | 1609 | 1 |
| <i>Staurastrum paradoxum</i> | | | 1 |
| <i>Staurastrum</i> sp. pequeño | | | 1 |
| CYANOBACTERIA | | | |
| <i>Limnococcus limneticus</i> (=Chroococcus limneticus) | 106,15 | 1501 | 1 |
| <i>Oscillatoria</i> sp. | 41,90 | 527 | 1 |
| CRYPTOPHYCEAE | | | |
| <i>Cryptomonas erosa</i> | 33,52 | 103202 | 1 |
| <i>Cryptomonas ovata</i> | 5,59 | 8846 | 1 |
| <i>Plagioselmis</i> (=Rhodomonas) lacustris | 86,60 | 11426 | 1 |
| DINOPHYCEAE | | | |
| <i>Ceratium hirundinella</i> | 2,79 | 122183 | 1 |
| <i>Gymnodinium lacustre</i> | 2,79 | 8776 | 1 |
| EUGLENOPHYCEAE | | | |
| <i>Trachelomonas volvocina</i> | 2,79 | 2092 | |
| TOTAL BACILLARIOPHYCEAE | 125,70 | 16768 | |
| TOTAL XANTHOPHYCEAE | 2,79 | 351 | |
| TOTAL CHLOROPHYTA | 6382,89 | 287706 | |
| TOTAL ZYGNEMATOPHYCEAE | 2,79 | 1609 | |
| TOTAL CYANOBACTERIA | 148,05 | 2027 | |
| TOTAL CRYPTOPHYCEAE | 125,70 | 123474 | |
| TOTAL DINOPHYCEAE | 5,59 | 130958 | |
| TOTAL EUGLENOPHYCEAE | 2,79 | 2092 | |
| TOTAL ALGAS | 6796,31 | 564984 | |

| Clases de abundancia | % de presencia | Clases de abundancia | % de presencia |
|----------------------|----------------|----------------------|----------------|
| 1 | <9 | 4 | 61-99 |
| 2 | 10-24 | 5 | >99 |
| 3 | 25-60 | | |

4.4. Zooplancton

En el análisis de zooplancton de las muestras del embalse de Caspe se han identificado un total de 15 especies, distribuidas en los siguientes grupos taxonómicos:

- 4 Cladocera
- 4 Copepoda
- 6 Rotifera
- 1 Larvas de mejillón

La estructura y composición de la comunidad de zooplancton se resume en el siguiente cuadro (**Cuadro 3**):

CUADRO 3
ESTRUCTURA Y COMPOSICIÓN DE LA COMUNIDAD DE ZOOPLANCTON

| PARÁMETRO | UNIDAD | VALOR |
|---|--------------|------------------|
| PROFUNDIDAD | m | 9,0 |
| DENSIDAD TOTAL | individuos/L | 146,73 |
| BIOMASA TOTAL | µg/L | 120,27 |
| Diversidad Shannon-Wiener | | 2,53 |
| CLASE PREDOMINANTE (DENSIDAD) | | Copépodos |
| individuos/L | | 74,23 |
| TAXÓN PREDOMINANTE (DENSIDAD) | | Orden Cyclopoida |
| individuos/L | | 48,85 |
| CLASE PREDOMINANTE ZOOPLANCTON (BIOMASA) | | Copépodos |
| µg/L | | 64,90 |

| PARÁMETRO | UNIDAD | VALOR |
|---|--------------------|----------------------|
| TAXÓN PREDOMINANTE ZOOPLANCTON (BIOMASA) | | Neolovenula alluaudi |
| µg/L | | 51,21 |
| COLUMNAS AGUA INTEGRADA (red vertical) | | 0 - 17 m |
| CLADÓCEROS: 15,10 % | COPÉPODOS: 55,88 % | ROTÍFEROS: 8,17 % |

La composición detallada de la población zooplanctónica presente en la muestra cuantitativa de zooplancton indicando la densidad y biomasa, y el porcentaje de las especies presentes en la muestra integrada de la red vertical, se muestran en el cuadro siguiente:

| COMPOSICIÓN | ABUNDANCIA | BIOMASA | PORCENTAJE |
|----------------------------------|------------|---------|------------|
| | Ind./L | µg/L | |
| ZOOPLANCTON | | | |
| CLADÓCEROS | | | |
| <i>Bosmina longirostris</i> | 0,19 | 0,25 | 0,08 |
| <i>Ceriodaphnia pulchella</i> | 0,38 | 0,46 | 1,67 |
| <i>Daphnia galeata</i> | 0,38 | 1,31 | 2,50 |
| <i>Diaphanosoma mongolianum</i> | 15,38 | 38,46 | 10,84 |
| COPÉPODOS | | | |
| <i>Acanthocyclops americanus</i> | 0,38 | 0,23 | 1,00 |
| <i>Neolovenula alluaudi</i> | 24,62 | 51,21 | 21,18 |
| <i>Thermocyclops dybowskii</i> | 0,38 | 0,76 | 0,33 |
| Orden Cyclopoida | 48,85 | 12,69 | 33,36 |
| ROTÍFEROS | | | |
| <i>Ascomorpha ovalis</i> | 0,38 | 0,02 | 0,08 |
| <i>Asplanchna priodonta</i> | | | 2,09 |
| <i>Hexarthra fennica</i> | 0,19 | 0,04 | 0,08 |
| <i>Hexarthra oxyuris</i> | 0,19 | 0,04 | |
| <i>Keratella cochlearis</i> | 9,23 | 0,46 | 3,34 |
| <i>Keratella tropica</i> | | | 0,08 |
| <i>Polyarthra dolichoptera</i> | 13,27 | 0,68 | 2,42 |

| COMPOSICIÓN | ABUNDANCIA | BIOMASA | PORCENTAJE |
|-----------------------------|---------------|---------------|--------------|
| ZOOPLANCTON | Ind./L | µg/L | |
| <i>Polyarthra major</i> | 0,58 | 0,08 | 0,08 |
| OTROS | | | |
| <i>Dreissena polymorpha</i> | 32,31 | 13,57 | 20,85 |
| Total Cladóceros | 16,35 | 40,48 | 15,10 |
| Total Copépodos | 74,23 | 64,90 | 55,88 |
| Total Rotíferos | 23,85 | 1,32 | 8,17 |
| Total Otros | 32,31 | 13,57 | 20,85 |
| Total | 146,73 | 120,27 | 100 |

5. DIAGNÓSTICO DEL GRADO TRÓFICO

Se han considerando los indicadores especificados en el **Cuadro 4** para los valores medios en el embalse, estableciéndose el estado trófico global del embalse según la metodología descrita en la sección 5 de la MEMORIA DEL ESTUDIO.

CUADRO 4
PARÁMETROS INDICADORES Y RANGOS DE ESTADO TRÓFICO

| Parámetros Estado Trófico | Ultraoligotrófico | Oligotrófico | Mesotrófico | Eutrófico | Hipereutrófico |
|--|-------------------|------------------|------------------|------------------|-----------------|
| Concentración P ($\mu\text{g P/L}$) | 0-4 | 4-10 | 10-35 | 35-100 | >100 |
| Disco de Secchi (m) | >6 | 6-3 | 3-1,5 | 1,5-0,7 | <0,7 |
| Clorofila a ($\mu\text{g/L}$) epilimnion | 0-1 | 1-2,5 | 2,5-8 | 8,0-25 | >25 |
| Densidad algal (cel/ml) | <100 | 100-1000 | 1000-10000 | 10000-100000 | >100000 |
| VALOR PROMEDIO FINAL | > 4,2 | 3,4 – 4,2 | 2,6 – 3,4 | 1,8 – 2,6 | < 1,8 |

En el **Cuadro 5** se incluye el estado trófico indicado por cada uno de los parámetros, así como la catalogación de la masa de agua según la valoración de este estado trófico final.

CUADRO 5
DIAGNÓSTICO DEL ESTADO TRÓFICO DEL EMBALSE DE CASPE

| INDICADOR | VALOR | ESTADO TRÓFICO |
|-----------------------------|-------------|--------------------|
| P TOTAL | 16,60 | Mesotrófico |
| CLOROFILA a | 5,21 | Mesotrófico |
| DISCO SECCHI | 2,20 | Mesotrófico |
| DENSIDAD ALGAL | 6796 | Mesotrófico |
| ESTADO TRÓFICO FINAL | 3,00 | MESOTRÓFICO |

Atendiendo a los criterios seleccionados, la transparencia (DS) indica un estado de oligofilia. Los resultados obtenidos de los demás parámetros (fósforo total (PT), concentración de clorofila a y densidad algal), clasifican al embalse como mesotrófico. Combinando todos los indicadores el estado trófico final para el embalse de CASPE ha resultado ser **MESOTRÓFICO**.

6. DIAGNÓSTICO DEL POTENCIAL ECOLÓGICO

Se han considerando los indicadores especificados en el **Cuadro 6**, estableciéndose el potencial ecológico del embalse según la metodología descrita en la sección 6.3 de la MEMORIA DEL ESTUDIO.

CUADRO 6
PARÁMETROS Y RANGOS PARA LA DETERMINACIÓN DEL POTENCIAL ECOLÓGICO
EXPERIMENTAL

| Indicador | Elementos | Parámetros | Máximo | Bueno | Moderado | Deficiente | Malo |
|------------------------------------|---------------|---|------------------|---------------------|----------------------------------|----------------------------------|------------------|
| Biológico | Fitoplancton | Densidad algal (cel/ml) | <100 | 100-10 ³ | 10 ³ -10 ⁴ | 10 ⁴ -10 ⁵ | >10 ⁵ |
| | | Biomasa algal, Clorofila a ($\mu\text{g/L}$) | 0-1 | 1-2,5 | 2,5-8 | 8,0-25 | >25 |
| | | Biovolumen algal (mm^3/L) | <0,1 | 0,1-0,5 | 0,5-2 | 2-8 | >8 |
| | | <i>Phytoplankton Assemblage Index (Q)</i> | >4 | 3-4 | 2-3 | 1-2 | <1 |
| | | <i>Trophic Index (TI)</i> | <2,06 | 2,06-2,79 | 2,79-3,52 | 3,52-4,25 | >4,25 |
| | | <i>Phytoplankton Trophic Index (PTI)</i> | >4,2 | 3,4-4,2 | 2,6-3,4 | 1,8-2,6 | <1,8 |
| | Zooplancton | <i>Phytoplankton Reservoir Trophic Index (PRTI)</i> | <3,8 | 3,8-6,6 | 6,6-9,4 | 9,4-12,2 | >12,2 |
| INDICADOR BIOLÓGICO (1) | | | > 4, 2 | 3, 4 -4, 2 | 2,6-3,4 | 1, 8 -2, 6 | < 1, 8 |
| Fisicoquímico | Transparencia | Profundidad Disco de Secchi (m) | >6 | 3-6 | 1, 5 -3 | 0, 7 -1,5 | <0, 7 |
| | Oxigenación | Concentración O ₂ (mg O ₂ /L) | >8 | 8-6 | 6-4 | 4-2 | <2 |
| | Nutrientes | Concentración de PT ($\mu\text{g P /L}$) | 0-4 | 4-10 | 10-35 | 35-100 | >100 |
| INDICADOR FISICOQUÍMICO (2) | | | MPE | AS FUN | NO AS FUN | | |
| | | | >4,2 | 3,4-4,2 | <3,4 | | |

- (1) La valoración del indicador biológico se obtiene asignando la calificación del elemento de menor puntuación (fitoplancton o zooplancton) o peor calidad, según la metodología *one out, all out*.

(2) La valoración del indicador fisicoquímico se obtiene realizando la media de las puntuaciones obtenidas para los distintos elementos. Si la media de los 3 elementos es igual o superior a 4,2 se considera que se cumplen las condiciones fisicoquímicas propias del máximo potencial ecológico (MPE). Si se alcanzan o superan los 3,4 puntos, se considera que las condiciones fisicoquímicas aseguran el funcionamiento del ecosistema (AS.FUN). Si no se alcanzan los 3,4 puntos, el indicador fisicoquímico no asegura el funcionamiento del ecosistema (NO AS.FUN).

La combinación de los dos indicadores, fisicoquímico y biológico, para la obtención del potencial ecológico experimental final sigue el esquema de decisiones indicado en el **Cuadro 7:**

CUADRO 7
COMBINACIÓN DE LOS INDICADORES

| Indicador Biológico | Indicador Fisicoquímico | Potencial Ecológico Experimental |
|---------------------|-------------------------|----------------------------------|
| Máximo | M P E | Máximo |
| Máximo | As Fun | Bueno |
| Máximo | No As Fun | Moderado |
| Bueno | M P E | Bueno |
| Bueno | As Fun | Bueno |
| Bueno | No As Fun | Moderado |
| Moderado | Indistinto | Moderado |

En el **Cuadro 8** se incluye el potencial indicado por cada uno de los parámetros e indicadores, así como la catalogación de la masa de agua según el potencial ecológico final.

CUADRO 8
DIAGNÓSTICO DEL POTENCIAL ECOLÓGICO DEL EMBALSE DE CASPE.

| Indicador | Elementos | Parámetros | Valor | Potencial |
|--------------------------------|---------------|---|-----------------|------------------|
| Biológico | Fitoplancton | Densidad algal (cel/ml) | 6796 | Moderado |
| | | Clorofila a ($\mu\text{g/L}$) | 5,21 | Moderado |
| | | Biovolumen algal (mm^3/L) | 0,57 | Moderado |
| | | <i>Phytoplankton Assemblage Index (Q)</i> | 4,21 | Máximo |
| | | <i>Phytoplankton Trophic Index (PTI)</i> | 1,68 | Malo |
| | | <i>Trophic Index (TI)</i> | 1,32 | Máximo |
| | | <i>Phytoplankton Reservoir Trophic Index (PRTI)</i> | 11,4 | Deficiente |
| | Zooplancton | <i>Zooplankton Reservoir Trophic Index (ZRTI)</i> | 8,30 | Moderado |
| INDICADOR BIOLÓGICO | | | 3,0 | MODERADO |
| Fisicoquímico | Transparencia | Disco de Secchi (m) | 2,20 | Moderado |
| | Oxigenación | O_2 hipolimnética (mg/L O_2) | 4,99 | Moderado |
| | Nutrientes | Concentración de P ($\mu\text{g/L P}$) | 16,60 | Moderado |
| INDICADOR FISICOQUÍMICO | | | 3,0 | NO AS FUN |
| POTENCIAL ECOLÓGICO | | | MODERADO | |

ANEXO I
REPORTAJE FOTOGRÁFICO



Foto 1: Vista general de la presa del embalse



Foto 2: Vista del punto de acceso a la lamina de agua